

- Rev Med, 1987, 38:417
- 2 Alain H, Anza F, Frank K, et al. Resistance to endo-toxin shock and reduced dissemination of gram-negative bacteria in CD14-deficient mice. Immunity, 1996, 4:407
- 3 Lei M G, Stimpson S A, Morrison D C. Specific endotoxin lipopolysaccharide-binding receptors on murine splenocytes (III): binding specificity and characterization. Immunol, 1991, 147:1925
- 4 Hampton R Y, Golenbock D T, Penman M, et al. Recognition and plasma clearance of endotoxin by scavenger receptors. Nature, 1991, 352:342
- 5 Wright S D, Ramos R A, Tobias P S, et al. CD14, a receptor for complexes of lipopolysaccharide (LPS) and LPS binding protein. Science, 1990, 249:1431
- 6 Ingalls R R, Golenbock D T, CD11c/CD18, a transmembrane signaling receptor for lipopolysaccharide. J Exp Med, 1995, 181:1473
- 7 Wurfel MM, Kunitake ST, Lichenstein H, et al. Lipopolysaccharide (LPS) binding Protein is carried on lipoproteins and acts a cofactor in the neutralization of LPS. J Exp Med, 1994, 180(3):1025
- 8 Edwin S Van Amersfoort, Theo J C. Van Berkel, et al. Receptors, Mediators, and Mechanisms Involved in Bacterial Sepsis and Septic Shock. CLINICAL MICROBIOLOGY REVIEWS, 2003, 16(3):379
- 414
- 9 Regine Landmann, Hans-Peter Knope, Susanne Link. Human Monocyte CD14 Is Upregulated by Lipopolysaccharide. INFECTION AND IMMUNITY, 1996, 64(5):1762-1769
- 10 Thomas Gutzmann, Mareike Muller, Stephen F Carroll. Dual Role of Lipopolysaccharide (LPS)-Binding Protein in Neutralization of LPS and Enhancement of LPS-Induced Activation of Mononuclear Cells. INFECTION AND IMMUNITY, 2001, 69(11):6942-6950
- 11 Regine Landmann, Susanne Link. Soluble CD14 Activates Monocytic Cells Independently of Lipopolysaccharide. INFECTION AND IMMUNITY, 1998, 66(5):2264-2271
- 12 William A, Lynn, Yannan Liu. Neither CD14 nor Serum Is Absolutely Necessary for Activation of Mononuclear Phagocytes by Bacterial Lipopolysaccharide. Infection and immunity, 1993, 61(10):4452-4461
- 13 Eric Hailman, Henri S, Lichenstein, et al. Lipopolysaccharide (LPS)-binding Protein Accelerates the Binding of LPS to CD14. [J]. Exp. Med., January, 1994, Volume 179:269-277
- 14 Roselaar S E, A Daugherty Lipopolysaccharide decreases scavenger receptor mRNA in vivo. J. Interferon Cytokine Res, 1997, 17:573-579

(收稿:2010-08-13)

(修回:2010-12-23)

## B7-H4 在人类肝癌细胞株中的表达及药物作用后其在 BEL-7404 中的表达变化

杜振东 于嘉屏 徐晓萍 林炜炜 徐磊 彭凤

**摘要 目的** 研究 B7 家族的新成员 B7-H4 mRNA 在肝癌细胞株中的表达,以及 BEL-7404 在抗肿瘤药物索拉非尼作用下 mRNA 的表达变化。**方法** 采用反转录聚合酶连反应(RT-PCR)方法检测 10 株肝细胞株中 mRNA 的表达;使用不同浓度索拉非尼杀伤 BEL-7404 后检测其 B7-H4 mRNA 的表达。**结果** B7-H4 mRNA 在部分肝癌细胞株中有表达;在使用索拉非尼后 BEL-7404 B7-H4 表达明显下降。**结论** B7-H4 基因与肿瘤细胞生长活性密切相关。

**关键词** 肝细胞癌 B7-H4 肿瘤免疫 索拉非尼

**The Expression of B7-H4 mRNA in HCC Cell Lines and the Changes in BEL-7404 after Using Sorafenib.** Du Zhendong, Yu Jiaping, Xu Xiaoping, Lin Weiwei, Xu Lei, Peng Feng. Department of Clinical Laboratory, Renji Hospital, Shanghai Jiaotong University School of Medicine, Shanghai 200127, China

**Abstract Objective** To study the mRNA expression of B7-H4 in hepatocellular carcinoma(HCC) cell lines and the expression changes in BEL-7404 under anticancer drug sorafenib. **Methods** The mRNA expression of B7-H4 in ten liver cell lines was detected by reverse transcription polymerase chain reaction(RT-PCR). With different concentrations sorafenib, we observed the change of B7-H4 mRNA expression in BEL-7404. **Results** B7-H4 mRNA was expressed partly in these liver cancer cell lines. B7-H4 mRNA of BEL-7404 was significantly decreased after using sorafenib. **Conclusion** B7-H4 gene is closely related to tumor cell growth activity.

**Key words** Hepatocellular carcinoma; B7-H4; Tumor immunity; Sorafenib

作者单位:200127 上海交通大学医学院附属仁济医院检验科

通讯作者:于嘉屏,电子信箱:Yujuipin@online.sh.cn

共刺激分子 B7 家族对激活和抑制 T 细胞免疫非常关键。这些分子不仅提供起始、增强和维持 T 细胞免疫关键的正向第 2 信号,而且产生限制、减弱和中止 T 细胞反应的关键信号<sup>[1]</sup>;介导机体的抗肿瘤免疫,在肿瘤的发生、发展以及基因治疗等方面具有重要意义。目前为止已经发现的 B7 分子家族共有 7 个成员,分别是 B7-1、B7-2、B7-H1、B7-H2、B7-H3、B7-DC 和 B7-H4。B7-H4 的基因表达在卵巢癌、乳腺癌、肺癌和肾癌等都有研究<sup>[2-8]</sup>;而在肝癌中的研究较少,我们应用 RT-PCR 技术在部分肝癌细胞株中进行筛查。

### 材料与方法

1. 主要试剂与仪器:培养液 RPMI-1640、DMEM 购自杭州吉诺生物医药技术有限公司,小牛及胎牛血清购自 Gibco;Trizol 及 RNA 反转录试剂盒购自 Invitrogen 公司;Hotstar Taq DNA 多聚酶购自 Qiagen 公司;Cell Counting Kit-8(CCK-8)购自 Dojindo 日本同仁化学研究所;索拉非尼(sorafenib)购自 LKT Laboratory;引物由上海生工合成;凝胶成像系统(Alpha Innotech);PCR 仪(Biometra T<sub>GRADIENT</sub>);水平电泳仪(Bio-Rad)和全波长酶标仪(TECAN)。

2. 研究对象:8 株人类肝癌细胞株 HepG2(ATCC HB-8065)、Hep3B(ATCC HB-8064)、BEL-7402、BEL-7404、BEL-7405、QGY-7701、QGY-7703 和 SMMC-7721 及 2 株正常肝细胞株 HL-7702(又称 L-02)和张氏肝均购自中国科学院上海细胞生物研究所。HepG2、Hep3B 用含 10% 胎牛血清的 DMEM 培养;BEL-7402、BEL-7404、BEL-7405 用含 10% 小牛血清的 DMEM 培养;QGY-7701、QGY-7703、SMMC-7721 用含 10% 小牛血清的 RPMI 1640 培养;HL-7702、张氏肝用含 10% 小牛血清的 RPMI 1640 培养,均培养于 37℃、5% CO<sub>2</sub> 培养箱中。

3. 方法:(1)各细胞株 mRNA 水平 B7-H4 的表达:总 RNA 的提取:取对数生长期  $1 \times 10^6$  个细胞加 1ml Trizol 抽提 RNA,经紫外分光光度计进行总 RNA 定量。cDNA 的合成 20μl 反转录体系中含有 5×缓冲液 4μl、RNA 反转录酶 1μl、3μg/μl 随机引物 1μl、40U/μl RNA 酶抑制剂 1μl、10mmol/L dNTPs 1μl、0.1mol/L DTT 2μl、总 RNA 1μg。操作步骤严格按照产品说明书进行。1)参照文献[9]设计引物:人 B7-H4 引物:上游:5'-GTCGGAGCAGGATGAA-3';下游:5'-GAAGCTTTGAGTTAGC-3',扩增产物为 507bp。人 GAPDH 内参引物:上游:5'-CGGGAAGCTTGTCAATGG-3';下游:5'-GGCACTGATGCCATGGACTG-3',扩增产物为 354bp。2)PCR 扩增:B7-H4:PCR 反应体积为 25μl,内含 cDNA 2μl、10×缓冲液 2.5μl、10mmol/L dNTP 0.5μl、上下游引物(5μmol/L)各 1μl、Hotstar Taq DNA 聚合酶 1U,以去离子水补足 25μl。反应条件为:95℃ 15min 预变性,94℃ 变性 20s、56℃ 复性 20s、72℃ 延伸 1min,循环 35 次,72℃ 延伸 10min。GAP-

DH:PCR 反应体系与 B7-H4 相同,反应条件中循环次数减少为 25 个。PCR 产物以 1.5% 琼脂糖凝胶电泳鉴定。(2)CCK-8 确定索拉非尼对 BEL-7404 细胞的半数致死量:选择对数生长期的 BEL-7404 细胞,以 0.2% 胰酶消化离心后,将细胞浓度调整至  $4 \times 10^4/\text{ml}$ ,铺入 96 孔平底板,每孔 100μl,分别加入不同浓度的索拉非尼,使其终浓度为 1.25μmol/L、2.5μmol/L、5μmol/L、10μmol/L、20μmol/L、40μmol/L,终体积为每孔 200μl,每个浓度设 6 复孔,37℃、5% CO<sub>2</sub> 培养 72h。在培养至 68h 时,每孔加入 20μl CCK-8 液体,继续培养 4h。以 450nm 主波长、630nm 校准波长检测各孔吸光度值。用 IC50 计算器计算索拉非尼对 BEL-7404 的半数致死量。(3)索拉非尼作用后 BEL-7404 细胞 B7-H4 表达的改变:选择 5μmol/L、10μmol/L 索拉非尼作为工作浓度。将 BEL-7404 细胞浓度调整至  $2 \times 10^5/\text{ml}$ ,铺入 6 孔板中,每孔 1ml。其中 4 孔加入索拉非尼,使其终浓度分别为 5μmol/L、10μmol/L,终体积为 2ml。各设 2 复孔,另外两孔补足培养液至 2ml,作为正常对照。置 37℃、5% CO<sub>2</sub> 培养箱培养。72h 后,弃上清液,用 PBS 洗去残留培养液,每孔加入 500μl Trizol 直接裂解细胞,提取 RNA,进行 RT-PCR 反应。

### 结 果

1. 各细胞株 B7-H4 mRNA 的表达:8 株肝癌细胞株中,BEL-7404、BEL-7405、SMMC-7721 和 Hep3B 有 B7-H4 表达,且 BEL-7404 的表达量最高;2 株正常肝细胞中均无 B7-H4 表达。各细胞株 B7-H4 mRNA 的表达和灰度比分别见图 1、图 2 所示。



图 1 各细胞株中 B7-H4mRNA 的表达

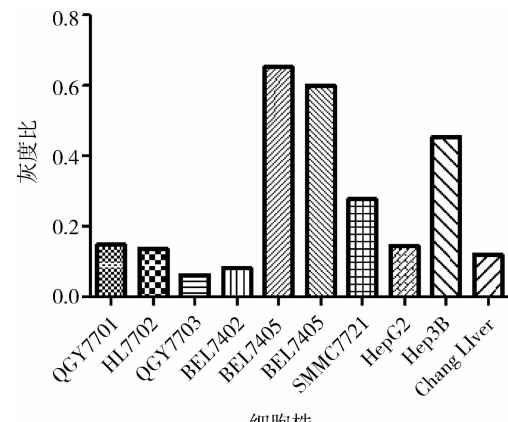


图 2 各细胞株中 B7-H4mRNA 表达的灰度比

2. 索拉非尼对 BEL - 7404 细胞的杀伤作用及 B7 - H4 表达的影响:索拉非尼对 BEL - 7404 的杀伤作用随药物浓度的增加而加强,杀伤曲线见图 3 所示。其对 BEL - 7404 作用 72h 的半数致死量( $IC_{50}$ )经计算后为  $9.1\mu\text{mol/L}$ 。根据  $IC_{50}$  计算结果,以  $5\mu\text{mol/L}$ 、 $10\mu\text{mol/L}$  索拉非尼作为工作浓度,培养 BEL - 7404 72h 后,镜下观察细胞状态明显不佳。取细胞抽提 RNA 做 RT - PCR 检测,结果显示 B7 - H4mRNA 表达明显下降,且随索拉非尼的浓度增高而下降越明显(图 4、图 5)。

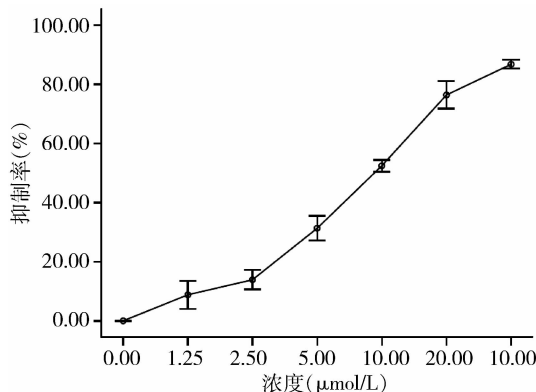


图 3 不同浓度时索拉非尼对 BEL - 7404 细胞的抑制率

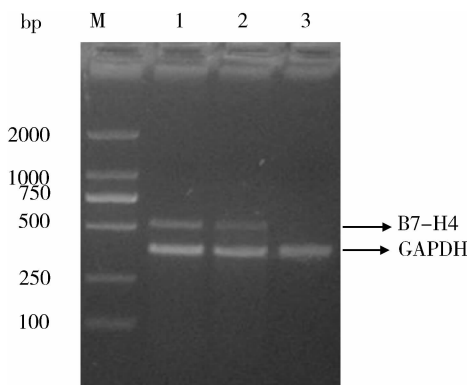


图 4 BEL - 7404 细胞在索拉非尼作用下 B7 - H4mRNA 的表达

图中 M 为核酸电泳标准相对分子质量;1. 正常对照组;2. 加入  $5\mu\text{mol/L}$  索拉非尼组;3. 加入  $10\mu\text{mol/L}$  索拉非尼组

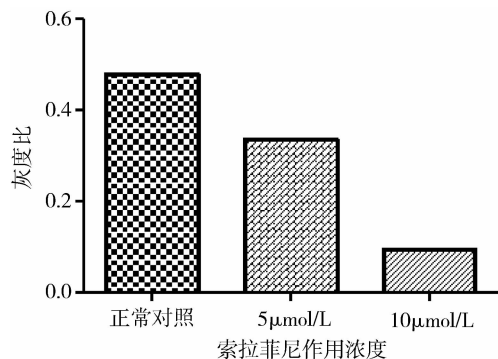


图 5 索拉非尼对 BEL - 7404 细胞作用后 B7 - H4mRNA 表达的灰度比

肿瘤免疫的机制中,T 细胞介导的细胞免疫是主要方式。而初始 T 细胞的活化既需要由 T 细胞受体(TCR)与抗原递呈细胞(antigen presenting cell, APC)上的抗原肽 - MHC 分子复合物结合提供的第 1 信号,还需要由 APC 上的协同刺激分子与 T 细胞上的相应配体结合提供的第 2 信号协同刺激,只有双信号共同刺激才能有效地调节 T 细胞功能。近年来研究表明,B7 - H4 通过抑制 CD4 $^{+}$ T 细胞和 CD8 $^{+}$ T 细胞的增殖、细胞因子的分泌和细胞毒性 T 淋巴细胞(CTL)细胞周期的进程来负性调控 T 细胞的免疫应答。B7 - H4 能把 T 细胞阻止在细胞周期的 G<sub>0</sub>/G<sub>1</sub>期,抑制其成熟,并且抑制 T 细胞对异常抗原的免疫应答,使其处于克隆无能或无应答状态,无法有效地杀伤肿瘤,最终致使肿瘤细胞逃避机体免疫系统的监控而生长、分裂和增殖<sup>[11]</sup>。总之,B7 - H4 是 T 细胞免疫应答的负向调节因子<sup>[12]</sup>。

在已进行的肿瘤 B7 - H4 的研究中,多涉及乳腺癌、卵巢癌、肾癌和肺癌等,但在肝癌方面研究甚少,尤其在国内鲜有报道。本研究中的 8 株肝癌细胞株、2 株正常肝细胞株为国内外常用细胞株,我们首先对其 mRNA 水平的 B7 - H4 进行检测报道,为以后的工作提供了初步依据。在我们所选的 8 株肝癌细胞株中,BEL - 7404、BEL - 7405、SMMC - 7721 和 Hep3B 有 B7 - H4mRNA 表达,表明 B7 - H4 是这 4 株肝癌细胞逃避机体免疫监控的一种方法;当然,肿瘤细胞逃避机体免疫监控的机制是多样的,肿瘤细胞的免疫逃逸是多因素多机制共同作用的结果。B7 - H4 只是众多方法中的一种,我们仅对这一种做了简单的分析。B7 - H4 分子不仅在肿瘤中,也在肿瘤免疫治疗、移植后排斥反应和自身免疫性疾病中 T 细胞的免疫应答中起重要作用,有待我们进一步研究。

## 讨 论

B7 - H4(又称 B7S1、B7x、)是最近发现的 B7 分子,它是 B7 分子家族中第 1 个 GPI(glycosylphosphatidylinositol)偶联蛋白,而其他成员是 I 型跨膜糖蛋白,主要表达在 B 细胞、巨噬细胞、成熟的树突状细胞(dendritic cell, DC)和某些肿瘤细胞<sup>[10]</sup>。在人体抗

索拉非尼是一种口服多激酶抑制剂,一方面通过靶向作用于 Raf/MEK/ERK 信号传导通路中的 RAF 激酶阻断肿瘤细胞增殖,另一方面靶向作用于血管内皮生长因子受体 2、3(VEGFR-2、3)和血小板衍生生长因子受体  $\beta$ (PDGFR- $\beta$ )而发挥抗血管生成效应。Raf/MEK/ERK 级联的信号传导在肝细胞癌进展中发挥重要作用<sup>[13]</sup>,并有研究发现 RAF 激酶在大部分肝细胞癌中过度表达<sup>[14]</sup>。因此,通过阻断 RAF 激酶的信号传导及 VEGFR 的作用可能会对肝细胞癌起到治疗效果。本研究中 BEL-7404 在索拉非尼的作用下,细胞生长明显受抑,表明索拉非尼阻断了肿瘤细胞的信号传导通路,抑制了肿瘤细胞的生长。同时 B7-H4 基因表达明显下降,提示其与肿瘤细胞的活性密切相关。

### 参考文献

- 1 Carreno B M, Collins M. The B7 family of ligands and its receptors: new pathways for co-stimulation and inhibition of immune response [J]. Annu Rev Immunol, 2002, 20:29-53
- 2 Anderson GL, McIntosh M, Wu L, et al. Assessing lead time of selected ovarian cancer biomarkers: a nested case-control study [J]. Natl Cancer Inst, 2010, 102(1):26-38
- 3 Oikonomopoulou K, Li L, Zheng Y, et al. Prediction of ovarian cancer prognosis and response to chemotherapy by a serum-based multiparametric biomarker panel [J]. Br J Cancer, 2008, 99(7):1103-1113
- 4 Tringler B, Zhuo S, Pilkington G, et al. B7-h4 is highly expressed in ductal and lobular breast cancer [J]. Clin Cancer Res, 2005, 11(5):1842-1848
- 5 Zhang J, Zhang M, Jiang W, et al. B7-H4 gene polymorphisms are associated with sporadic breast cancer in a Chinese Han population [J]. BMC Cancer, 2009, 9:394
- 6 Sun Y, Wang Y, Zhao J, et al. B7-H3 and B7-H4 expression in non-small-cell lung cancer [J]. Lung Cancer, 2006, 53(2):143-151
- 7 Crispen PL, Boorjian SA, Lohse CM, et al. Predicting disease progression after nephrectomy for localized renal cell carcinoma: the utility of prognostic models and molecular biomarkers [J]. Cancer, 2008, 113(3):450-460
- 8 Krambeck AE, Thompson RH, Dong H, et al. B7-H4 expression in renal cell carcinoma and tumor vasculature associations with cancer progression and survival [J]. Proc Natl Acad Sci USA, 2006, 103(27):10391-10396
- 9 Y Chen, C Yang, Z Xie, et al. Expression of the novel co-stimulatory molecule B7-H4 by renal tubular epithelial cells [J]. Kidney Int, 2006, 70(12):2092-2099
- 10 Chambers CA. The expanding world of co-stimulation: the two-signal model revisited [J]. Trends Immunol, 2001, 22(4):217-223
- 11 Sica G L, Choi I H, Zhu G, et al. B7-H4, a molecule of the B7 family, negatively regulates T cell immunity [J]. Immunity, 2003, 18(6):849-861
- 12 Prasad DV, Richards S, Mai XM, et al. B7S1, a novel B7 family member that negatively regulates T cell activation [J]. Immunity, 2003, 18(6):863-873
- 13 Wieseaauer CA, Yip Schneider MT, Wang Y, et al. Multiple anti-cancer effects of blocking MEK-ERK signaling in hepatocellular carcinoma [J]. J Am Coll Surg, 2004, 198(3):410-421
- 14 Hwang YH, Choi JY, Kim S, et al. Over expression of c-raf-1 proto-oncogene in liver cirrhosis and hepatocellular carcinoma [J]. Hepatol Res, 2004, 29(2):113-121

(收稿:2010-09-16)

(修回:2010-11-15)

## OPV 诱导恒河猴黏膜免疫应答研究

杨卉娟 陈俊英 和占龙 孙强明 施海晶 李华 马绍辉

**摘要 目的** 评价 OPV 诱导恒河猴黏膜免疫应答效果。**方法** 将 20 只恒河猴随机分成 3 个实验组(第 1 组:OPV + OPV + OPV, 第 2 组:IPV + IPV + OPV + OPV, 第 3 组:IPV + IPV + OPV)和 1 个对照组,采集不同时间恒河猴粪便和唾液,检测粪便和唾液中脊髓灰质炎病毒特异性 IgA;通过细胞培养和中和试验对口服 OPV 后恒河猴粪便排毒状况进行分析。**结果** 粪便和唾液中 IgA 效价随着接种剂数增加而增高,3 个组全程免疫后 30 天粪便样品中 IgA 效价第 1 组最高,第 2 组次之,第 3 组最低,3 组间两两比较有统计学差异(方差分析,  $P < 0.05$ )。口服 OPV 后恒河猴粪便中均可分离到 3 个型的疫苗病毒。**结论** OPV 可诱导恒河猴咽部和肠道产生良好的黏膜免疫应答,口服 OPV 后 3 个型疫苗病毒均能在肠道增殖。

**关键词** OPV 黏膜免疫应答 脊髓灰质炎病毒 IgA 疫苗病毒排泄

作者单位:650118 昆明,中国医学科学院医学生物学研究所

通讯作者:马绍辉,电子信箱:shaohuima70@126.com